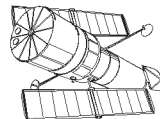


ПРАКТИЧЕСКИЙ ТУР



Телескоп системы Ньютона (А.М. Татарников)

Класс:

9 10

Задача:

1

?

Нарисуйте оптическую схему (в масштабе 1:4) телескопа Ньютона со следующими характеристиками:

Главное зеркало — диаметр 200 мм;

Фокусное расстояние — 1 м;

Диагональное зеркало — длина малой оси 50 мм;

Труба — диаметр 240 мм, толщиной трубы пренебречь;

Длина трубы от вершины главного зеркала — 900 мм;

Вынос фокуса (расстояние от поверхности трубы до точки фокуса) — 100 мм.

Нарисуйте ход лучей для звезды, находящейся на оптической оси телескопа. Вычислите масштаб изображения в фокальной плоскости, определите линейный и угловой диаметр невиньетированного (незатененного) трубой поля зрения. Укажите на схеме все размеры, использованные при ее построении.

!

Вначале начертим трубу в масштабе 1:4. Затем с одного из ее концов нарисуем зеркало так, чтобы его центр его оптической поверхности пришелся на центр задней стенки трубы. Сделаем вспомогательное построение — нарисуем главную оптическую ось зеркала, совпадающую с осью трубы. Вычислим, на каком расстоянии от главного зеркала должен находиться центр вторичного зеркала. Для этого из фокусного расстояния F вычтем вынос фокуса l и радиус трубы $D/2$. Получим:

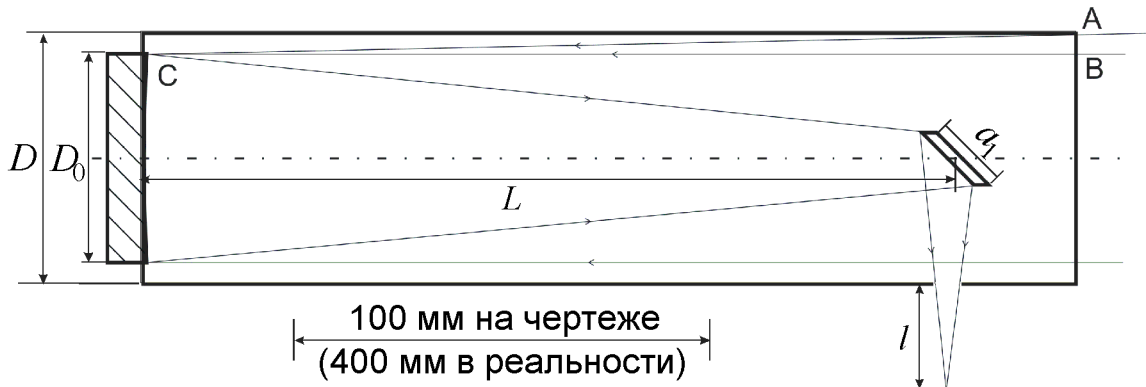
$$L = F - l - \frac{D}{2} = 780 \text{ мм.}$$

В требуемом масштабе расстояние составит $L/4$ или 195 мм. Теперь вычислим размер большой оси диагонального зеркала. Эта же величина равна длине проекции зеркала на плоскость рисунка. Очевидно, что размер малой оси зеркала a_2 должен быть равен толщине пучка света, идущего от главного зеркала. Размер большой оси тогда будет равен

$$a_1 = \frac{a_2}{\cos 45^\circ} \approx 70 \text{ мм.}$$

В масштабе чертежа это составит $a_1/4$ или примерно 18 мм. Рисуем вторичное зеркало на схеме. Наносим лучи, параллельные главной оптической оси и падающие от звезды на края зеркала. После этого рисуем их дальнейший ход до пересечения в точке фокуса. На этом построение схемы телескопа и хода лучей закончено.

XVII Всероссийская олимпиада школьников по астрономии



Вычислим масштаб изображения. Угловому расстоянию в 1° ($1/57.3$ радиан) будет соответствовать линейный размер d в фокальной плоскости. Он зависит только от фокусного расстояния телескопа и равен

$$d = \frac{F}{57.3} = 17.5 \text{ мм.}$$

Таким образом, масштаб составляет $3.4'$ на мм. Чтобы определить размер поля зрения, нарисуем крайние лучи, участвующие в построении невиньетированного трубой изображения участка неба. Для этого соединим на схеме верхний край главного зеркала телескопа и край трубы. Получим треугольник **ABC**. В нем длина отрезка **BC** составляет 900 мм, длина отрезка **AB** равна

$$\mathbf{AB} = \frac{D - D_0}{2} = 20 \text{ мм.}$$

Здесь D_0 – диаметр зеркала. Таким образом, угол **ACB**, определяющий угловой радиус невиньетированного поля зрения, равен

$$\angle \mathbf{ACB} = \arcsin \frac{\mathbf{AB}}{\mathbf{BC}} = 1^\circ 16'.$$

Диаметр поля зрения составляет $2^\circ 32'$. Линейный размер поля равен

$$f = \frac{2^\circ 32'}{1^\circ} d = 44 \text{ мм.}$$

Практический тур

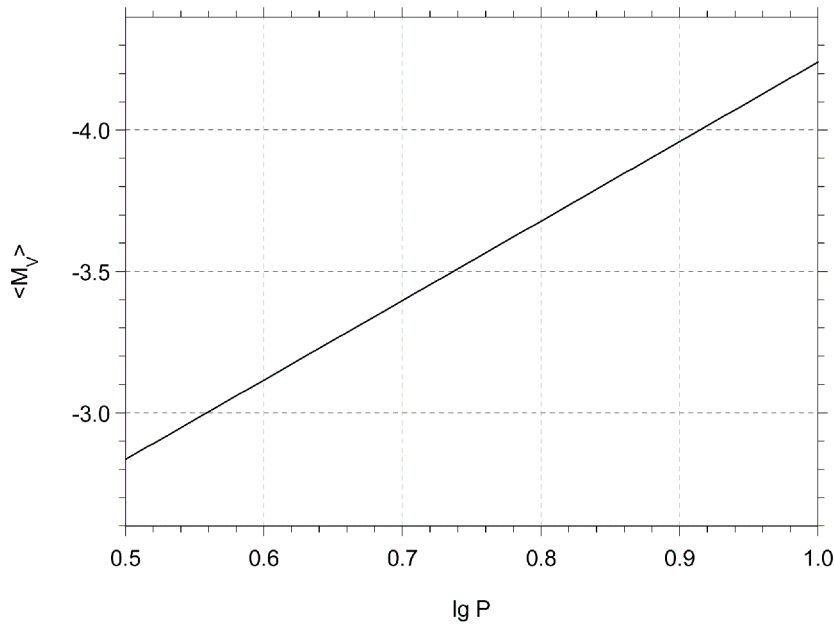
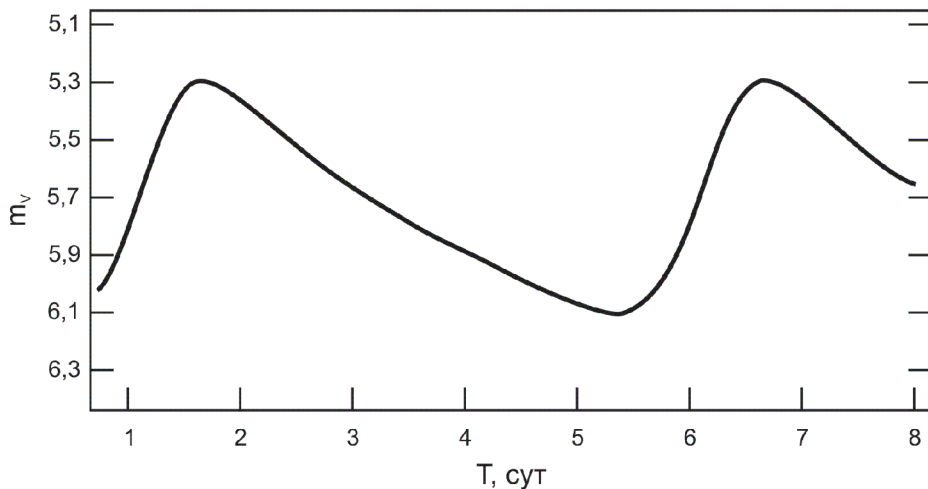


Цефеида со спутником (А.А. Татарникова)

Класс: **10 11**

Задача: **2**

? Переменная звезда — цефеида располагается на небе точно на линии эклиптики. В течение года она перемещается относительно более далеких звезд, вычерчивая отрезок длиной $0.0020''$ точно вдоль эклиптики. Во время своего противостояния с Солнцем звезда оказывается в середине этого отрезка. Известно, что эта цефеида входит в состав двойной системы с круговыми орбитами и периодом 1 год. Оцените массу второго компонента двойной звезды, если известно, что она заметно меньше массы цефеиды, равной 5 массам Солнца. На рисунках представлена кривая блеска цефеиды и зависимость "логарифм периода — средняя за период абсолютная звездная величина". Собственное движение системы как единого целого и межзвездное поглощение не учитывать.



XVII Всероссийская олимпиада школьников по астрономии

! Отрезок, который описывает звезда вдоль линии эклиптики, имеет все признаки параллактического движения. Этому соответствует и то, что в момент противостояния звезда оказывается в середине отрезка. В этом случае тригонометрический параллакс π_1 составляет $0.0010''$. Однако, мы можем определить расстояние до цефеиды другим способом: методом "фотометрического параллакса".

По кривой блеска оцениваем средний блеск цефеиды m (5.7^m) и период колебаний блеска P (5 суток). Как известно, период колебаний связан с абсолютной звездной величиной m_0 соотношением, график которого приведен в условии задачи. По нему находим: $m_0 = -3.4$. Имея абсолютную и видимую величины, можно определить фотометрический параллакс:

$$\lg \pi_2'' = 0.2 (m_0 - m) - 1.$$

Значение π_2 оказывается равным $0.0015''$, что в полтора раза превышает измеренный тригонометрический параллакс. При этом межзвездное поглощение отсутствует. Мы можем сделать вывод, что фотометрический параллакс характеризует истинное расстояние до цефеиды (670 пк), а годовое параллактическое движение звезды искажено влиянием ее спутника, обращающегося с тем же периодом в 1 год. Нам нужно найти величину этого искажения.

Влияние спутника не выводит звезду с линии эклиптики, следовательно, круговое орбитальное вращение также происходит в плоскости эклиптики. Более того, в момент противостояния звезды, когда ее параллактическое смещение обращается в ноль, орбитальное смещение также отсутствует. Из этого можно сделать вывод, что орбитальное движение в плоскости эклиптики происходит либо в том же направлении, что параллактическое, либо в точности противоположно ему (иными словами, разность фаз равна либо нулю, либо 180°). Обозначим через α половину отрезка, описываемого звездой в ходе ее орбитального движения. Тогда для первого и второго случая:

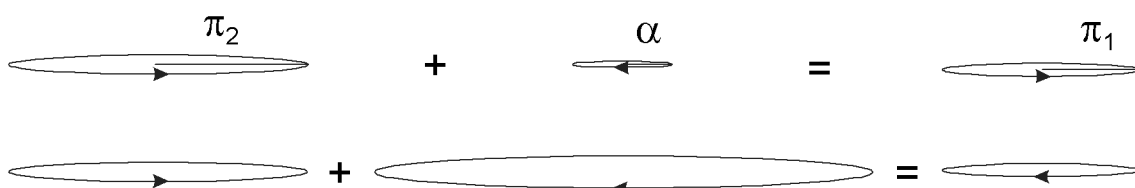
$$\begin{aligned}\pi_2 - \alpha_1 &= \pi_1, \\ \pi_2 - \alpha_2 &= -\pi_1,\end{aligned}$$

из чего следует:

$$\alpha_{2,1} = \pi_2 \pm \pi_1.$$

Значения угла α для первого и второго случая составляют $0.0005''$ и $0.0025''$ соответственно. Зная расстояние до цефеиды, можно найти радиус орбиты главной звезды:

$$a_{C1,2}(\text{a.e.}) = \frac{\alpha_{1,2}''}{\pi_2''} = 0.3; 1.7.$$



Практический тур

Радиусы орбит двух звезд (a_C и a_X) связаны соотношением

$$\frac{a_C}{a_X} = \frac{M_X}{M_C},$$

где M_C и M_X — массы этих звезд. Расстояние между звездами составляет

$$a = a_X + a_C = a_C \left(1 + \frac{M_C}{M_X} \right).$$

Выражая массы в массах Солнца, большую полуось в а.е., период обращения в годах (он равен единице), можно записать III закон Кеплера:

$$a^3 = M_X + M_C;$$

$$a_C = \frac{(M_X + M_C)^{\frac{1}{3}}}{1 + \frac{M_C}{M_X}}.$$

По условию задачи, масса спутника заметно меньше массы цефеиды. В этом случае уравнение упрощается:

$$a_C = \frac{M_X (M_C)^{\frac{1}{3}}}{M_C}; \quad M_X = a_C M_C^{\frac{2}{3}}.$$

Подставляя два возможных значения a_C , получаем значения M_X : 1 и 5 масс Солнца. Во втором случае масса получается сопоставимой с массой цефеиды, что противоречит условию задачи и сделанным предположениям. Поэтому мы можем сделать вывод, что из двух сценариев, изображенных на рисунке, возможен только первый, а масса спутника цефеиды равна одной массе Солнца.



Метеорный ливень (О.С. Угольников)

Класс: **10** **11**

Задача: **3**

? В Анапе (широта $+45^\circ$) наблюдается сильная вспышка метеорного дождя, продолжающаяся около часа. В ее середине радиант потока, находящийся на небесном экваторе, проходит точку верхней кульминации. Наблюдатель регистрирует метеоры, относящиеся к потоку и появляющиеся в узкой полосе (ширина 10°) вдоль небесного меридиана от севера до юга на высоте более 20° . За 20 минут наблюдений вблизи максимума вспышки он заметил 500 таких метеоров.

Нарисуйте график количества зафиксированных метеоров от положения точки возгорания на меридиане с интервалом в 10° (зенитное расстояние от 0° до 10° , от 10° до 20° , ..., от 60° до 70° на севере и юге).

Считать, что проницающая способность наблюдателя метеоров одинакова по всему меридиану, не зависит от угловой скорости метеоров и составляет 4^m . Принять, что все метеоры загораются на высоте 100 км в атмосфере Земли, а их распределение по яркости соответствует индексу 2.512 (в каждом участке неба метеоров ярче 2^m в 2.512 раза больше, чем метеоров ярче 1^m , метеоров ярче 3^m – в 2.512 раза больше, чем метеоров ярче 2^m и так далее).

Атмосферным поглощением света пренебречь (для 10 класса).

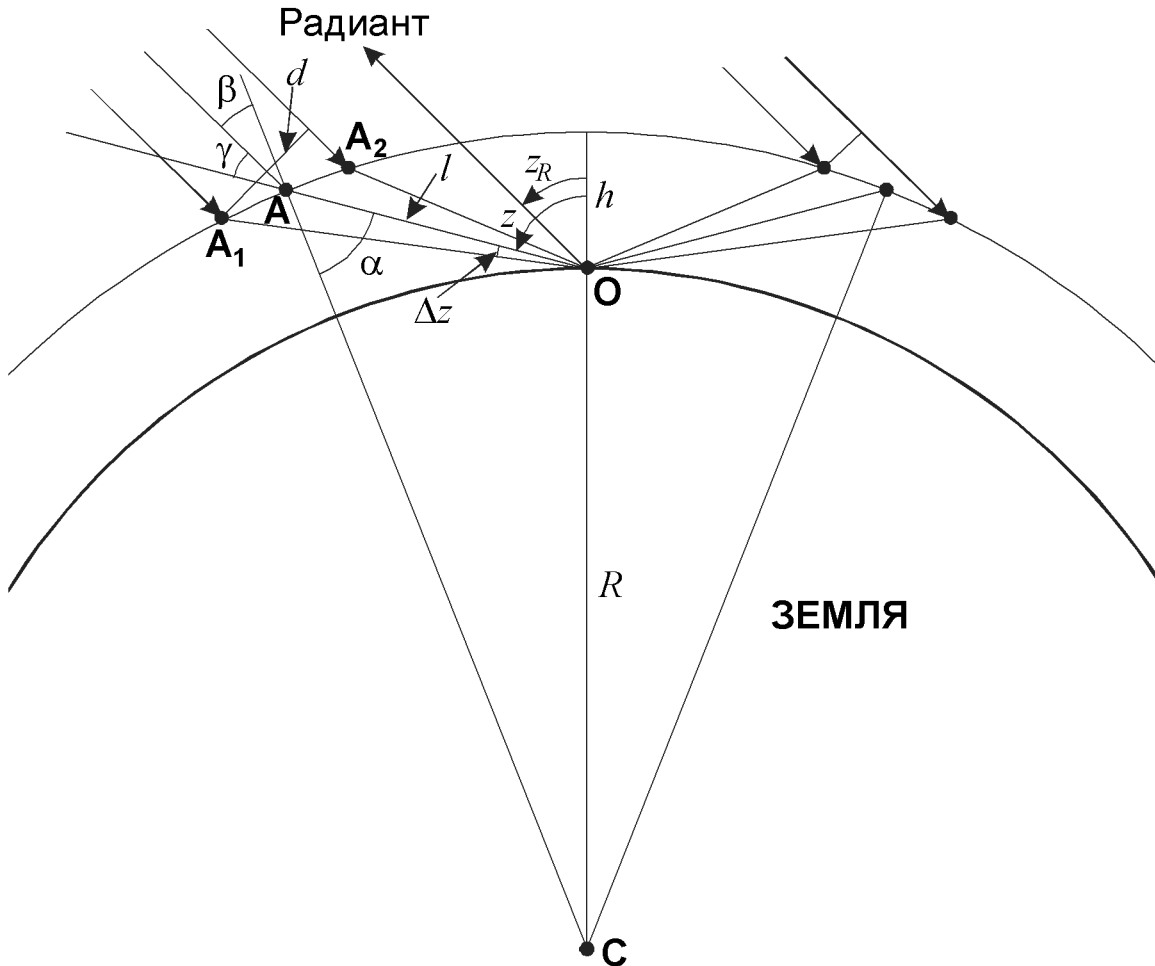
Атмосферное поглощение света в зените составляет 0.2^m (для 11 класса).

! Радиант метеорного потока располагается на небесном экваторе, и его зенитное расстояние в момент верхней кульминации z_R равно широте места наблюдения, 45° . Наблюдения продолжались всего 10 минут до кульминации и 10 минут после нее. Этот период меньше продолжительности вспышки. За это же время радиант удалился от небесного меридиана всего на 2.5° . Это вдвое меньше полуширины полосы, в которой фиксировались метеоры. Поэтому мы можем рассматривать картину в плоскости небесного меридиана и считать, что радиант все время находится в этой плоскости на зенитном расстоянии z_R . Построим рисунок в плоскости небесного меридиана, поместив наблюдателя в точку О.

Рассмотрим одну из 10-градусных зон, в которых ведется подсчет метеоров. Пусть z – зенитное расстояние середины этой зоны (оно может быть равно 5° , 15° и т.д. до 65°), а Δz – ее полуширина, составляющая 5° . Проведем окружность, проходящую на высоте h над поверхностью Земли. Метеоры, попадающие в указанную зону, загораются на дуге A_1A_2 этой окружности. Длина этой дуги существенно меньше радиуса окружности ($R+h$), и мы можем считать эту дугу отрезком прямой.

Пусть точка А на дуге соответствует середине данной зоны (с хорошей точностью она совпадает с серединой отрезка A_1A_2). Обозначим расстояние от наблюдателя до точки А через l . В треугольнике COA на рисунке угол COA – смежный по отношению к зенитному расстоянию z . Поэтому мы можем записать выражение теоремы косинусов как

Практический тур



$$(R + h)^2 = R^2 + l^2 + 2Rl \cos z.$$

Примем далее во внимание, что высота вспышки метеоров h (100 км) значительно меньше радиуса Земли R (6370 км). Это позволяет нам пренебречь слагаемыми порядка h^2 и переписать левую часть уравнения:

$$R^2 + 2Rh = R^2 + l^2 + 2Rl \cos z.$$

Отсюда мы получаем квадратное уравнение для величины l :

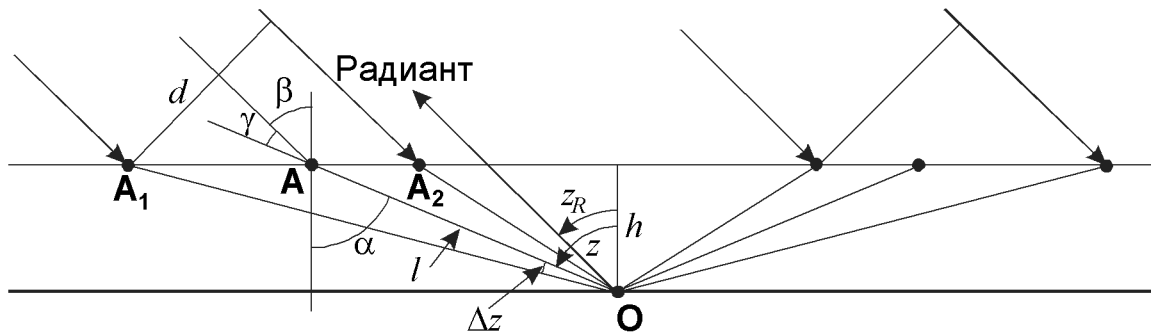
$$l^2 + 2Rl \cos z - 2Rh = 0.$$

В этом уравнении положительным оказывается один корень:

$$l = -R \cos z + \sqrt{R^2 \cos^2 z + 2Rh} = R \cos z \cdot \left(\sqrt{1 + \frac{2h}{R \cos^2 z}} - 1 \right).$$

Обратим внимание, что во всем рассматриваемом участке небесного меридиана величина z не превосходит 70° . В этом случае

$$\frac{2h}{R \cos^2 z} \leq \frac{2h}{R \cos^2 70^\circ} = 0.27.$$



Поэтому мы можем считать, что

$$\sqrt{1 + \frac{2h}{R \cos^2 z}} \approx 1 + \frac{h}{R \cos^2 z},$$

и далее:

$$l = \frac{h}{\cos z}.$$

Это выражение соответствует простой модели плоской Земли. Фактически мы обосновали ее применимость для данной ситуации — существенные отклонения появятся лишь вблизи горизонта, при z больше 70° , однако эти участки неба не охватывались наблюдениями. В дальнейшем мы будем вести решение для этой модели (соответствующие величины будут иметь индекс "F"), а также получим характерные оценки для более сложной модели, учитывающей сферичность Земли в первом приближении (с точностью до слагаемых порядка h/R). Сходство результатов станет дополнительным критерием возможности использования модели плоской Земли. Эта модель отражена на рисунке сверху.

Применяя теорему синусов к треугольнику **СОА** на первом рисунке, запишем:

$$\frac{R+h}{\sin z} = \frac{R}{\sin \alpha}.$$

Учитывая, что h существенно меньше R , это уравнение можно переписать как

$$\sin \alpha = \sin z \cdot \left(1 - \frac{h}{R}\right).$$

Пользуясь известным соотношением для малого угла λ :

$$\sin(z - \lambda) = \sin z - \lambda \cos z,$$

получаем выражение для радианной меры угла α :

$$\alpha = z - \frac{h}{R} \operatorname{tg} z.$$

В модели "плоской Земли" это соотношение будет выглядеть значительно проще: $\alpha_F = z$. Для определенности примем далее, что величина z положительна в южной части небесного меридиана и отрицательна — в северной,

Практический тур

правой части рисунка. Все полученные ранее формулы при этом остаются справедливыми, а угол α для точек в северной части меридиана также будет отрицательным. Угловое расстояние между точкой меридиана с зенитным расстоянием z и радиантом составит

$$\gamma = z - z_R.$$

Данная величина положительна к югу от радианта и отрицательна к северу от него. Найдем угол β , под которым метеорные тела влетают в атмосферу Земли. Из рисунков видно, что:

$$\beta = \alpha - \gamma = z_R - \frac{h}{R} \operatorname{tg} z.$$

Для модели "плоской Земли" последнее соотношение будет простым и очевидным: $\beta_F = z_R$. Теперь найдем длину отрезка $\mathbf{A}_1\mathbf{A}_2$:

$$\mathbf{A}_1\mathbf{A}_2 = h \cdot (\operatorname{tg}(z + \Delta z) - \operatorname{tg}(z - \Delta z)) = \frac{2h\Delta z}{\cos^2 z}.$$

Здесь мы вновь использовали приближенную тригонометрическую формулу, учитывая малость величины Δz .

Количество метеоров, загоревшихся в той или иной 10-градусной зоне, пропорциональны величине площадки, перпендикулярной движению метеоров, в которую они должны попасть, чтобы быть зарегистрированными в этой зоне. Форма этой площадки близка к прямоугольнику, одна из сторон которого составляет:

$$d = \mathbf{A}_1\mathbf{A}_2 \cos \beta = \frac{2h\Delta z}{\cos^2 z} \cos \left(z_R - \operatorname{tg} z \frac{h}{R} \right).$$

Из двух компонент, стоящих в скобках, вторая значительно меньше первой, в чем можно убедиться подстановкой максимального значения z , при котором проводились наблюдения. Вновь применяя формулу приближенной тригонометрии, получаем:

$$d = \mathbf{A}_1\mathbf{A}_2 \cos \beta = \frac{2h\Delta z \cos z_R}{\cos^2 z} + \frac{2h\Delta z \sin z_R}{\cos^2 z} \operatorname{tg} z \frac{h}{R} = \frac{2h\Delta z \cos z_R}{\cos^2 z} \cdot \left(1 + \frac{h \operatorname{tg} z \operatorname{tg} z_R}{R} \right).$$

Для модели "плоской Земли", очевидно:

$$d_F = \frac{2h\Delta z \cos z_R}{\cos^2 z}.$$

Вторая сторона прямоугольника горизонтальна и перпендикулярна плоскости рисунка. Ее длина составляет

$$b = l \cdot \theta = \frac{h \cdot \theta}{\cos z},$$

где θ — постоянная ширина полосы наблюдений. В формуле также учтено, что данная ширина невелика. В итоге, искомая площадь составляет

XVII Всероссийская олимпиада школьников по астрономии

$$S = d \cdot b = \frac{2h^2 \theta \Delta z \cos z_R}{\cos^3 z} \cdot \left(1 + \frac{h \operatorname{tg} z \operatorname{tg} z_R}{R} \right)$$

Для модели "плоской Земли":

$$S_F = \frac{2h^2 \theta \Delta z \cos z_R}{\cos^3 z}.$$

Обращаем внимание, что полученная зависимость достаточно проста (числитель является постоянной величиной) и характеризуется резким увеличением площади при удалении от зенита. Разумеется, количество метеоров не будет так сильно зависеть от зенитного расстояния, так как наблюдатель видит только самые яркие метеоры, с блеском выше 4^m. По условию задачи, с увеличением звездной величины на 1^m (то есть, при уменьшении минимальной яркости в 2.512 раза) количество метеоров ярче указанного уровня возрастает в 2.512 раза. Иными словами, число метеоров ярче величины J пропорционально $1/J$.

Предположим, в атмосферу влетело метеорное тело. Яркость этого метеора при наблюдении в зените составила J_0 . Определим, какую яркость это тело бы имело при наблюдении на зенитном расстоянии z . Если пре-небречь поглощением света в атмосфере (как это было предложено в задании для 10 класса), то яркость уменьшится только за счет большего расстояния до метеора. В таком случае

$$J_1 = J_0 \frac{h^2}{l^2} = J_0 \cos^2 z.$$

Если же учесть атмосферное поглощение (как было нужно в задании для 11 класса), то яркость составит

$$J_2 = J_0 \frac{h^2}{l^2} \cdot \frac{10^{-0.4 \cdot m_e / \cos z}}{10^{-0.4 \cdot m_e}} = J_0 \cos^2 z \cdot 10^{-0.4 \cdot m_e \cdot \left(\frac{1}{\cos z} - 1 \right)}.$$

Здесь m_e – значение атмосферного поглощения в зените. Получается, что метеоры вдали от зенита оказываются слабее, чем такие же метеоры в зените. Пусть j – минимальная яркость метеора, заметная невооруженным глазом в зените. Чтобы быть замеченным на зенитном расстоянии z , метеор должен иметь там такую же яркость j , а в зените он тогда был бы ярче в $J_0/J_{1(2)}$ раз. Но, как указывалось выше, таких метеоров меньше, соответствующий коэффициент есть обратная величина к отношению яркостей. Доля видимых глазом метеоров из всех, попавших в данную 10-градусную зону, будет пропорциональна величине

$$F_{1(2)} = \frac{J_{1(2)}}{J_0}.$$

В итоге, количество метеоров будет пропорционально площади S и величине F_1 (F_2):

Практический тур

$$n_1 = S \cdot F_1 = \frac{2h^2 \theta \Delta z \cos z_R}{\cos z} \cdot \left(1 + \frac{htgz \operatorname{tg} z_R}{R} \right),$$

$$n_2 = S \cdot F_2 = \frac{2h^2 \theta \Delta z \cos z_R}{\cos z} 10^{-0.4 \cdot m_e \cdot \left(\frac{1}{\cos z} - 1 \right)} \cdot \left(1 + \frac{htgz \operatorname{tg} z_R}{R} \right).$$

В модели "плоской Земли" в формулах отпадают последние множители:

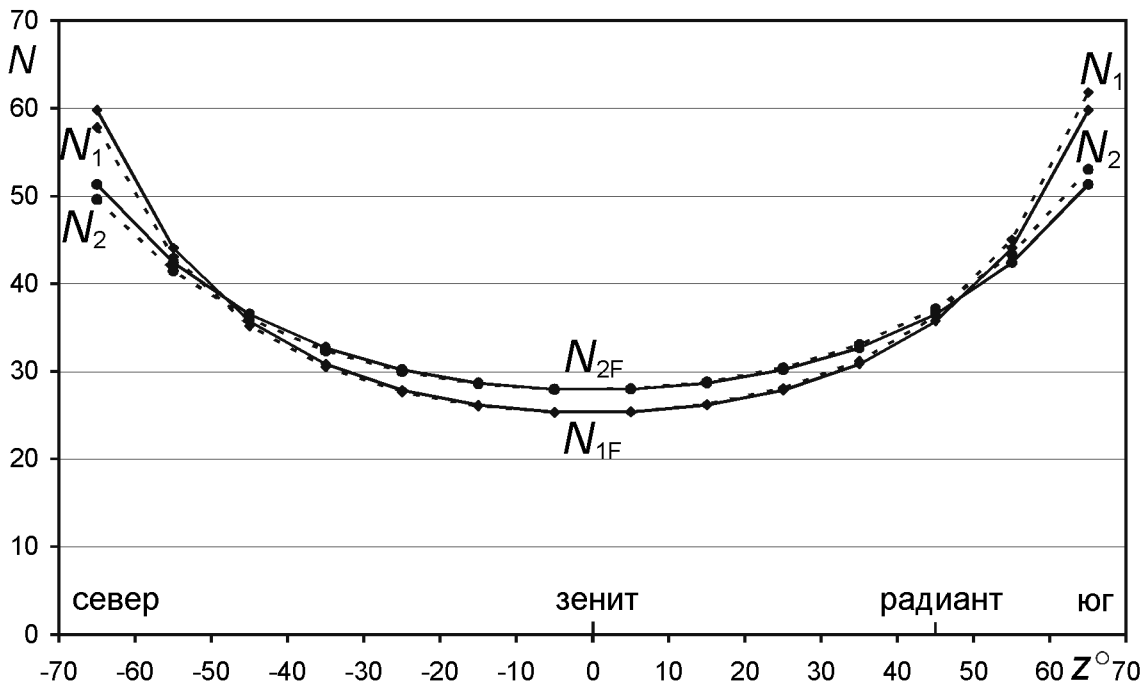
$$n_{1F} = S_F \cdot F_1 = \frac{2h^2 \theta \Delta z \cos z_R}{\cos z},$$

$$n_{2F} = S_F \cdot F_2 = \frac{2h^2 \theta \Delta z \cos z_R}{\cos z} 10^{-0.4 \cdot m_e \cdot \left(\frac{1}{\cos z} - 1 \right)}.$$

Нам известно, что полное количество метеоров, зарегистрированных вдоль участка меридиана, составляло 500. Чтобы получить количество метеоров, вспыхнувших в каждой 10-градусной зоне, нужно "нормировать" полученные значения n :

$$N_{1,2}(z_i) = 500 \cdot \frac{n_{1,2}(z_i)}{\sum_j n_{1,2}(z_j)}, \quad N_{1F,2F}(z_i) = 500 \cdot \frac{n_{1F,2F}(z_i)}{\sum_j n_{1F,2F}(z_j)}.$$

Результаты представлены в виде графиков. Сплошными линиями показаны зависимости, полученные с использованием модели "плоской Земли". Мы видим, что количество метеоров увеличивается от зенита к горизонту. Этот факт сохраняется и для кривой N_2 , рассчитанной с учетом атмосферного поглощения, хотя указанная зависимость там менее резкая. В реальности, при больших значениях атмосферного поглощения m_e и



XVII Всероссийская олимпиада школьников по астрономии

заметной засветке неба у горизонта наклон кривой еще слабее, а на больших зенитных расстояниях число метеоров начинает уменьшаться.

Приближенный учет сферичности Земли приводит к едва заметным отклонениям только при z порядка 60° - 70° , как показывают пунктирные линии на графике. Эти отклонения делают кривую несимметричной относительно зенита — в южной части неба, под радиантом, метеоров чуть больше, чем у северного горизонта. Но в рамках указанных зенитных расстояний разница результатов двух моделей, мала, что еще раз подтверждает возможность использовать простую модель "плоской Земли".